



بررسی جذب آفلاتوکسین B1 توسط نانوذرات سلولز کونژوگه شده با آپتامر در شرایط اسیدی، بازی و خشی

نویسنده‌گان: طیبه السادات میردهقان^۱، سید حسین حکمتی مقدم^۲، علی جباری^۳

۱. دانشجوی کارشناسی ارشد، دانشگاه پیام نور تفت یزد
۲. دانشیار گروه علوم آزمایشگاهی، دانشگاه علوم پزشکی و خدمات بهداشت درمانی شهید صدوقي یزد
۳. نویسنده مسئول: استادیار گروه علوم و فناوری های نوین پزشکی، دانشگاه علوم پزشکی و خدمات بهداشت درمانی شهید صدوقي یزد تلفن تماس: ۰۹۳۹۰۳۴۸۴۷۸ Email: alijebal2011@gmail.com

ملووع بهداشت

چکیده

مقدمة: سم آفلاتوکسین باعث سرطان کبد می شود و جذب آن در مواد غذایی بسیار ضروری است. هدف از این مطالعه بررسی جذب آفلاتوکسین B1 توسط نانوذرات سلولز کونژوگه شده با آپتامر در شرایط اسیدی، بازی و خشی بود.

روش بررسی: نخست نانوذرات سلولز با روش هیدرولیز اسیدی سنتز و سپس با کمک کراس لینکر به آپتامر اصلاح شده کونژوگه گردید. در مرحله بعد، غلظت‌های سریال نانوذرات کونژوگه شده (0.6 mg/mL و 0.25 mg/mL و 0.1 mg/mL) بطور جداگانه با محلول آفلاتوکسین با غلظت $1000 \mu\text{g/mL}$ مخلوط و در دمای 37°C و در pH های 1 ، 7 ، 13 ، 5 و 0 ساعت انکوبه گردیدند. سپس درصد جذب برای هر لوله در طول موج 340 nm نانومتر محاسبه گردید.

یافته‌ها: کاهش pH منجر به افزایش جذب تا حدود 40% درصد شد. از نظر آماری، تفاوت معنی داری بین مقدار جذب در شرایط اسیدی با مقدار جذب در شرایط بازی و خشی دیده شد ($P < 0.05$).

نتیجه گیری: آفلاتوکسین به خوبی می‌تواند به نانوذرات سلولز کونژوگه شده جذب شود و این قدرت جذب در شرایط اسیدی افزایش می‌یابد.

واژه‌های کلیدی: جذب، آفلاتوکسین B1، نانوذرات سلولز، آپتامر

دو ماهنامه علمی پژوهشی
دانشکده بهداشت یزد
سال چهاردهم
شماره: ششم
ویژه نامه ۱۳۹۴
شماره مسلسل: ۵۴

تاریخ وصول: ۱۳۹۳/۹/۱۶
تاریخ پذیرش: ۱۳۹۳/۱۰/۱۹



مقدمه

رویکرد دیگر استفاده از مواد جاذب است که بتوانند به آفلاتوکسین B1 متصل شده و موجبات کاهش غلظت سم آزاد در مواد غذایی شود. تحقیقات نشان می‌دهد دیواره سلولی برخی باکتری‌ها و مخمرها توانایی جذب این سم را دارند، همچنین برخی ترکیبات نظیر زئولیت‌ها، مونتموریلونیت، کربن فعال و نانوکامپوزیت اکسید سیلیس-اکسید منیزیوم نیز به خوبی به آفلاتوکسین B1 متصل می‌گردند^(۵,۶). باید توجه داشت که این مواد که به عنوان جاذب آفلاتوکسین B1 معرفی گردیده‌اند، هیچ‌یک جاذب تخصصی نبوده و احتمالاً بتوانند به سایر مواد نیز جذب شود. همچنین اکثر این جاذب‌ها دارای مجموعه‌ای از اکسید فلزات نظیر اکسید آلومینیوم و اکسید تیتانیوم بوده که امکان آزادسازی و سمیت بالای آن‌ها وجود دارد^(۷).

با توصیفی که از مسئله ارائه شد، ضرورت ارائه یک جاذب تخصصی که علاوه بر قدرت جذب آفلاتوکسین، حداقل سمتی را برای انسان و حیوان داشته باشند احساس می‌گردد. هدف از این تحقیق بررسی جذب آفلاتوکسین B1 توسط نانو ذرات سلولز کوژنر-گه شده با آپتامر در شرایط اسیدی، بازی و خشی است. آپتامرها مولکول‌هایی از جنس الیگونوکلئوتید بوده و می‌توانند با ایجاد ساختار سه‌بعدی هدف خود را شناسایی کنند. ایجاد پیوندهای هیدروژنی اصلی‌ترین عامل برای اتصال تخصصی مولکول هدف با آپتامر است.

برخی از قارچ‌ها توانایی سنتز متابولیت‌های ثانویه خاصی تحت عنوان مایکرتوکسین‌ها را دارند که می‌توانند اثرات نامطلوبی بر سلول‌های انسانی و حیوانی داشته باشند^(۱). از نظر سازمان بهداشت جهانی آفلاتوکسین‌ها جزو مهم‌ترین مایکرتوکسین‌ها بوده که عمدهاً توسط سوش‌های آسپرژیلوس فلاووس و آسپرژیلوس پارازیتیکوس تولید می‌گردد^(۲). تحقیقات نشان می‌دهد که انواع آفلاتوکسین (B1, B2, G1, G2) توسط این قارچ‌ها سنتز می‌گردد ولی مهم‌ترین و خطرناک‌ترین آن‌ها آفلاتوکسین B1 بوده که باعث ایجاد سرطان کبد و هپاتیت می‌گردد. هم‌چنین سقط‌جنین، نازایی، کاهش کیفیت محصولات کشاورزی و دامپروری از جمله اثرات نامطلوب این سم است. آفلاتوکسین B1 بعد از خوردن به راحتی در دستگاه گوارش جذب و وارد جریان خون می‌گردد و سپس در بافت‌های مختلف نظیر ریه، کلیه و کبد تجمع پیدا می‌کند. آفلاتوکسین B1 در سلول‌های این بافت‌ها (عمدهاً کبد) نفوذ کرده و با DNA واکنش متقابل داده و تولید RNA را مهار می‌کند و در نهایت سرطان کبد به وجود می‌آید^(۳). راه‌های متفاوتی برای جلوگیری از سنتز و حذف این سم توسط محققین مختلف گزارش گردیده است مثلاً فرایندهای حرارتی، خشک نمودن سریع و استفاده از مواد شیمیایی نظیر آمونیاک، از جمله راه‌های پیشنهادی است ولی این راهکارها بعضاً مشکلاتی را برای مواد غذایی ایجاد می‌کنند^(۴).



اضافه شد و بشدت به هم زده شد. در مرحله بعد جهت پیشبرد واکنش نیز یک میلی لیتر کراس لینکر به سوسپانسیون اضافه و به مدت یک ساعت در دمای محیط بر روی روتاتور کاملاً به هم زده شد. بعد از انکوباسیون، مانند مراحل فوق لوله واکنش در دور ۳۵۰۰ به مدت ۲ دقیقه سانتریفوژ و تهشین نیز دو بار با آب مقطر شستشو داده شد. در مرحله بعد نانو ذرات سلولز کونژو گه به انکوباتور ۳۷ درجه منتقل تا خشک گردد. درنهایت ۰/۴ گرم از نانو ذرات کونژو گه شده توزین و با آب مقطر به حجم ۴۰ mL رسانیده شد تا غلظت ۱۰ میلی گرم بر میلی لیتر از آن تهیه گردد. برای بررسی ساختاری از روش تصویربرداری با میکروسکوپ الکترونی روبشی استفاده گردید. برای ارزیابی جذب آفلاتوکسین B1 توسط نانو ذرات کونژو گه شده با آپتامر سه گروه اصلی در نظر گرفته شد: در گروه اول $500 \mu\text{L}$ از غلظت‌های سریال نانو ذرات کونژو گه شده ($0/6 \text{ mg/mL}$ و $1/25$ و $2/5$ و 5 و 10) به طور جداگانه با $500 \mu\text{L}$ از محلول آفلاتوکسین با غلظت $1000 \mu\text{g/mL}$ مخلوط و در دمای 37°C و $\text{pH} 1$ به مدت $0/5$ ساعت انکوبه گردیدند. در گروه دوم $500 \mu\text{L}$ از غلظت‌های سریال نانو ذرات کونژو گه شده ($0/6 \text{ mg/mL}$ و $1/25$ و $2/5$ و 5 و 10) به طور جداگانه با $500 \mu\text{L}$ از محلول آفلاتوکسین با غلظت $1000 \mu\text{g/mL}$ مخلوط و در دمای 37°C و $\text{pH} 7$ به مدت $0/5$ ساعت انکوبه گردیدند. در گروه سوم $500 \mu\text{L}$ از غلظت‌های سریال نانو ذرات کونژو گه شده ($0/6 \text{ mg/mL}$ و $1/25$ و $2/5$ و 5 و 10) به طور جداگانه با $500 \mu\text{L}$ از محلول آفلاتوکسین با غلظت $1000 \mu\text{g/mL}$ مخلوط

روش بررسی

در این تحقیق هیدروکسید سدیم، اسیدسیتریک، اسیدسولفوریک، کراس لینکر EDC (کربودی ایمید) از شرکت مرک آلمان تهیه گردید. همچنین آپتامر اصلاح شده از شرکت تکاپو زیست خریداری شد. آفلاتوکسین B1 نیز از شرکت زیست فناور شرق تهیه شد. برای سنتز نانوذرات سلولز نخست 10 g از پنبه خام توزین و درون لوله آزمایش قرارداد شد، سپس 2 mL اسیدسولفوریک 70% به پنبه شستشو داده شده اضافه و فوراً مخلوط گردید. بعد از تقریباً دو ثانیه یعنی بعد از هیدرولیز کامل پنبه، برای خنثی کردن اسید موجود در لوله و رسوب نانو ذرات از 2 mL محلول 5 مولار NaOH استفاده گردید. برای تخلیص نانو ذرات، ابتدا نانو ذرات رسوب کرده به مدت 2 دقیقه در دور 3500 سانتریفوژ و سپس با آب مقطر سه مرتبه شستشو داده شد^(۸). برای کونژو گه نمودن نانو ذرات سلولز، در مرحله اول نانو ذرات سلولز با گروههای کربوکسیل اصلاح گردید، بدین صورت که نخست به تمام نانو ذرات شستشو داده شده موجود در لوله، 10 میلی لیتر آب مقطر اضافه گردید. در مرحله بعد یک 5 g اسیدسیتریک به سوسپانسیون نانو سلولز اضافه و سپس در دمای 100 درجه به مدت 5 دقیقه انکوبه گردید. بعد از انکوباسیون، اسیدسیتریک اضافی با سانتریفوژ در دور 3500 به مدت 2 دقیقه جدا گردید. در مرحله بعد $0/5 \text{ mL}$ آب مقطر به آپتامر خریداری شده اضافه و 450 میکرو لیتر از آن به لوله حاوی نانو ذرات سلولز اصلاح شده با گروههای کربوکسیل



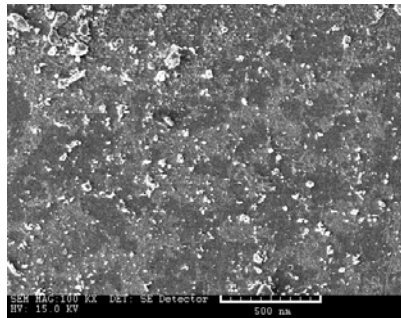
یافته‌ها

شکل ۱ تصویری از نانو ذرات کونژوگه را توسط میکروسکوپ الکترونی رو بشی نشان می‌دهد. همان‌طور که دیده می‌شود نانو ذرات سنتز شده بسیار ریز و در اشکال مختلف و در سایز تقریباً 10 nm تا 100 nm بودند. شکل ۲ و ۳ و ۴ نیز به ترتیب جذب آفلاتوکسین در pH های ۱ و ۷ و ۱۳ و ۱۶ نیز به افزایش جذب آفلاتوکسین در pH منجر به افزایش جذب تا حدود ۴۰ درصد شده است. قابل توجه آنکه کاهش غلظت بر میزان جذب آنچنان تأثیرگذار نبود. در گروه اول همان‌طور که مشاهده می‌گردد نشان می‌دهد. در گروه اول همان‌طور که مشاهده می‌گردد کاهش pH منجر به افزایش جذب تا حدود ۴۰ درصد شده است. قابل توجه آنکه کاهش غلظت بر میزان جذب آنچنان تأثیرگذار نبود. در گروه دوم با افزایش غلظت مقدار جذب افزایش یافت. تحت شرایط مذکور مقدار جذب در دو غلظت افزایش یافت. تحت شرایط مذکور مقدار جذب در دو غلظت افزایش یافت. تحت شرایط مذکور مقدار جذب در دو غلظت افزایش یافت. تحت شرایط مذکور مقدار جذب در دو غلظت افزایش یافت. تحت شرایط مذکور مقدار جذب در دو غلظت افزایش یافت.

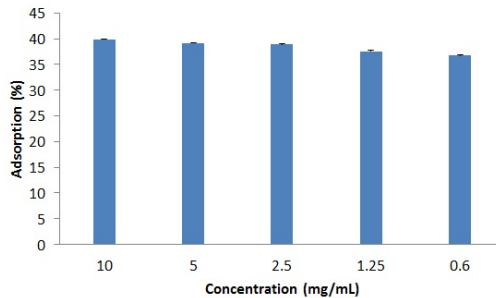
شد ($p < 0.05$).

و در دمای 9°C و pH ۱۳ معادل ۱۳ به مدت ۰/۵ ساعت انکوبه گردیدند. برای هر گروه ۲ کنترل و یک بلانک نیز در نظر گرفته شد، شامل:

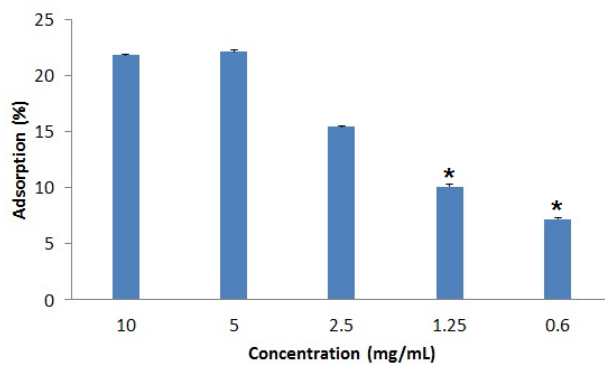
- کنترل ۱: حاوی آب مقطر و آفلاتوکسین به تنها به تنها
 - کنترل ۲: حاوی آب مقطر و نانو ذرات کونژوگه به تنها به تنها
 - بلانک: آب مقطر
- فرمول ۱-۳ جذب نوری کنترل منفی / $\times 100$ / (مجموع جذب نوری کنترل‌ها - جذب نوری لوله تست) = درصد جذب بعد از اتمام انکوباسیون، تمامی لوله‌ها در دور 3500 به مدت ۵ دقیقه سانتریفیوژ و میزان جذب نوری محلول روئی با استفاده از دستگاه اسپکتروفوتومتر تحت طول موج 340 نانومتر قرائت شد و درصد جذب با فرمول شماره ۱ محاسبه شد. لازم به ذکر است همه گروه‌ها به صورت ۲ بار تکرار انجام و سپس میانگین و انحراف معیار آن‌ها محاسبه گردید. همچنین برای بررسی اختلاف معنی‌دار بین گروه‌ها از آزمون T-test استفاده شد و P کمتر از 0.05 به عنوان سطح معنی‌دار در نظر گرفته شد.



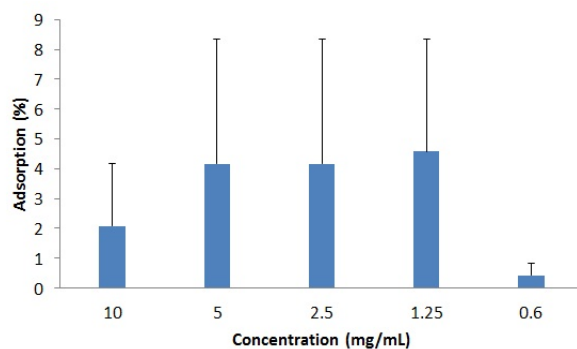
شکل ۱: تصویر میکروسکوپ الکترونی رو بشی از نانو ذرات کونژوگه با آپتامر.



شکل ۲: درصد جذب آفلاتوکسین توسط غلظت‌های مختلف نانو ذرات سلولز کونژوگه شده با آپتامر در دمای 37°C ، pH معادل ۱ و زمان انکوباسیون ۰/۵ ساعت.



شکل ۳: درصد جذب آفلاتوکسین توسط غلظت‌های مختلف نانو ذرات سلولز کونژوگه شده با آپتامر در دمای 37°C ، pH معادل ۷ و زمان انکوباسیون ۰/۵ ساعت. علامت ستاره معنی درای در سطح ۰.۵ را در مقایسه با سایر گروه‌ها نشان می‌دهد.



شکل ۴: درصد جذب آفلاتوکسین توسط غلظت‌های مختلف نانو ذرات سلولز کونژوگه شده با آپتامر در دمای 37°C ، pH معادل ۱۳ و زمان انکوباسیون ۰/۵ ساعت.



(۱۵-۱۲). افزایش جذب با کاهش pH به راحتی قابل توجیه نیست و می‌بایستی از نظر مولکولی ارزیابی گردد. جذب آفلاتوکسین توسط نانو ذرات کونژوگه شده توسط مجموعه‌ای از نیروی‌های هیدروفوبیک، الکترواستاتیک و هیدروژنی است لذا ما بر این باوریم که تغییر pH احتمالاً به طور مستقیم یا غیرمستقیم بر روی نیروهای بین مولکولی تأثیرگذار است که بررسی و اثبات آن منوط به مطالعه مستقل دیگری است. نکته قابل بحث دیگر روش اندازه‌گیری آفلاتوکسین است. همان‌طور که در قسمت روش کار نیز ذکر گردید در این تحقیق از روش جذب نوری در طول موج ۳۴۰ نانومتر استفاده گردید چراکه مولکول آفلاتوکسین B1 در این طول موج دارای پیک جذبی است (۱۶، ۱۷) و می‌توان از آن برای تعیین غلاظت در محلول‌هایی که مداخله فلورسانس دیگری وجود ندارد استفاده کرد، اما مسلم‌آین روش نسبت به روش کروماتوگرافی مایع با کار آبی بالا (HPLC) روشی با حساسیت و دقیقت کمتر است (۱۸). الگوی ایزوترم و سینتیک فرآیند جذب آفلاتوکسین توسط نانو ذرات سلولز نیز از اهداف این مطالعه خارج بود. لازم به ذکر است هدف از ارائه مدل جذب، یافتن بهترین الگوی ریاضی جهت پیش‌بینی فرآیند جذب است. با به دست آوردن الگوی ایزوترم، می‌توان رفتار جاذب را به طور دقیق پیش‌بینی نمود. این الگوی ریاضی به طور مؤثری به ساختار مولکولی جاذب و ماده جذب‌شونده و کنش بین اتم‌های این دو دارد. از آنجایی که نیروهای مختلفی مانند الکترواستاتیک، هیدروژنی، واندروالس و هیدروفوب یا مجموعی از این نیروها در فرآیند جذب

بحث و نتیجه‌گیری

هدف از این مطالعه بررسی قابلیت جذب آفلاتوکسین B1 توسط نانو ذرات کونژوگه شده با آپتامر در شرایط اسیدی و بازی و خنثی بود. برای بررسی این قابلیت نخست نانو سلولز سترز گردید و سپس با مولکول آپتامر کونژوگه گردید. در این مطالعه برای سنتز نانو سلولز از روش هیدرولیز اسیدی سلولز خام استفاده گردید که البته قبل از توسط سایر محققین نیز گزارش گردیده بود (۹). همچنین برای کونژوگاسیون نخست نانو ذرات سلولز با گروه‌های کربوکسیل اصلاح و سپس با مولکول آپتامر اصلاح شده با گروه آمین کونژوگه گردید. در این روش کونژوگاسیون، درنهایت پیوند آمیدی ایجاد می‌گردد، به نحوی که ارتباط بین گروه کربوکسیل در مولکول نانو سلولز ازیک طرف و گروه آمین در آپتامر اصلاح شده از طرفی دیگر برقرار می‌گردد (۱۰، ۱۱). این پیوند آمیدی توسط روش FTIR قابل اثبات است.

بعد از تهیه نانو ذرات سلولز کونژوگه شده و مشخصه یابی آن‌ها قدرت جذب مولکولی در آن‌ها در pH های مختلف ارزیابی گردید. دلیل انتخاب pH های مختلف بررسی فرایند جذب در لوله گوارش بود. فرآیند جذب نیز مانند همه واکنش‌های شیمیایی، می‌توانند متأثر از غلاظت، دما، زمان، و pH باشد. این مسئله در مطالعات مشابه نیز عنوان گردیده و مورد بررسی قرار گرفته بود (۱۵-۱۲). همان‌طور که در قسمت نتایج نیز ذکر گردید فرآیند جذب آفلاتوکسین توسط نانو ذرات سلولز کونژوگه شده به طور نسبی تحت تأثیر pH و غلاظت بود که همانگی کاملی با سایر تحقیقات مشابه داشت



آزمایش مستقل دیگری تعدادی حیوان آزمایشگاهی مناسب انتخاب و در معرض آفلاتوکسین قرار گیرد و سپس همراه با این سم، غذایی به آن‌ها خورانده شود که حاوی نانو ذرات کونزوگه شده باشد و طی زمان‌های مختلف میزان آفلاتوکسین در نمونه مدفع و خون آن‌ها ارزیابی گردد. چنانچه در این مرحله نیز کارایی این نانو ساختار به تأیید برسد شاید بتوان در آینده از آن به عنوان جاذب سم آفلاتوکسین همراه با مواد غذایی توسط انسان نیز مصرف شود.

تقدیر و تشکر

این مقاله حاصل از پایان‌نامه خانم طیبه السادات میر‌دهقان است. نویسنده‌گان این مقاله از تمامی کسانی که در این تحقیق ما را یاری کردند کمال تشکر را دارند. به ویژه از پرسنل آزمایشگاه پژوهش قدرانی به عمل می‌آید.

می‌تواند مؤثر باشد، لذا الگوهای مختلفی از سینتیک و ایزوترم برای جاذب‌های مختلف و از جمله این جاذب قابل حدس است (۱۹).

در این مطالعه، برای اولین بار نانو ذرات سلولز کونزوگه شده با آپتامر بررسی و به عنوان جاذب مناسب گزارش گردید. تابه‌حال گزارشی از این نوع نانوذره در منابع اطلاعاتی وجود نداشته است و لذا نمی‌توان مقایسه‌ای زمینه‌ای انجام پذیرد. با توجه به نتایج این مطالعه احتمالاً بتوان از این نانو ساختار در داخل مواد غذایی استفاده نمود تا در صورت وجود آفلاتوکسین در ماده غذایی، جذب شده و سپس از دستگاه گوارش خارج شود. از آنجایی که این نانو ساختار از جنس سلولز است و آنزیم‌های گوارشی انسانی قادر به هضم و جذب آن نیست، در دستگاه گوارش دست‌نخوردۀ باقی‌مانده و فقط به عنوان جاذب عمل می‌کند. توصیه می‌گردد در

References

- Smith LE, RJ Stoltzfus, and A Prendergast. Food chain mycotoxin exposure, gut health, and impaired growth: a conceptual framework. *Advances in Nutrition: An International Review Journal* 2012;3(4):526-531.
- Gnonlonfin GJB, K Hell, Y Adjovi, P Fandohan ,DO Koudande, GA Mensah, A Sanni, and L Brimer. A review on aflatoxin contamination and its implications in the developing world: A sub-Saharan African perspective. *Critical reviews in food science and nutrition* 2013;53(4):349-365.
- Shirabe K, T Toshima, A Taketomi, K Taguchi, T Yoshizumi, H Uchiyama, N Harimoto, K Kajiyama, A Egashira, and Y Maehara. Hepatic aflatoxin B1-DNA adducts and TP53 mutations in patients with hepatocellular carcinoma despite low exposure to aflatoxin B1 in southern Japan. *Liver International* 2011;31(9):1366-1372.



- 4-Bothast RJ, GW Nofsinger, AA Lagoda, and LT Black. Integrated process for ammonia inactivation of aflatoxin-contaminated corn and ethanol fermentation. *Applied and environmental microbiology* 1982;43(4):961-963.
- 5-Desheng Q, L Fan, Y Yanhu, and Z Niya. Adsorption of aflatoxin B1 on montmorillonite. *Poultry Science* 2005;84(6):959-961.
- 6-Rao SBN and RC Chopra. Influence of sodium bentonite and activated charcoal on aflatoxin M 1 excretion in milk of goats. *Small Ruminant Research* 2001;41(3):203-213.
- 7-Thom DC, JE Davies, JP Santerre, and S Friedman. The hemolytic and cytotoxic properties of a zeolite-containing root filling material in vitro. *Oral Surgery, Oral Medicine, Oral Pathology, Oral Radiology, and Endodontics* 2003;95(1):101-108.
- 8-Jebali A, SH Hekmatimoghaddam, A Behzadi, and I Rezapour. Antimicrobial activity of nanocellulose conjugated with allicin and lysozyme. *cellulose* 2013;20:2897–2907.
- 9-Charreau H, ML Foresti, and A Vazquez. Nanocellulose patents trends: a comprehensive review on patents on cellulose nanocrystals, microfibrillated and bacterial cellulose. *Recent Pat Nanotechnol* 2013;7(1):56-80.
- 10-Payne RJ, AM Daines, BM Clark, and AD Abell. Synthesis and protein conjugation studies of vitamin K analogues. *Bioorg Med Chem* 2004;12(22):5785-91.
- 11-Sperling RA and WJ Parak. Surface modification, functionalization and bioconjugation of colloidal inorganic nanoparticles. *Philos Trans A Math Phys Eng Sci* 2010;368(1915):1333-83.
- 12-Bueno DJ, CH Casale, RP Pizzolitto, MA Salvano, and G Oliver. Physical adsorption of aflatoxin B1 by lactic acid bacteria and *Saccharomyces cerevisiae*: a theoretical model. *J Food Prot* 2007;70(9):2148-54.
- 13-Desheng Q, L Fan, Y Yanhu, and Z Niya. Adsorption of aflatoxin B1 on montmorillonite. *Poult Sci* 2005;84(6):959-61.
- 14-Hekmatimoghaddam S, A Jebali, and K Daliri. MgO-SiO₂ Nanocomposite Can Adsorb Aflatoxin in Wheat Flour. *J. Mater. Sci. Eng. B* 2012;2(1):40-44.
- 15-Rao SBN and RC Chopra. Influence of sodium bentonite and activated charcoal on aflatoxin M1 excretion in milk of goats. *Small Ruminant Research* 2001;41(3):203-213.



-
- 16-Velasco J. Fluorometric measurement of aflatoxin adsorbed on florisil in minicolumns. *J Assoc Off Anal Chem* 1975;58(4):757-63.
- 17-Beljaars PR, FH Fabry, MM Pickott, and MJ Peeters. Quantitative fluorodensitometric measurement of aflatoxin B1 with a flying-spot densitometer. II. Comparative study of B1 measurements in spiked and naturally contaminated peanut products. *J Assoc Off Anal Chem* 1972;55(1):1972-1976.
- 18-Farber P, I Brost, R Adam, and W Holzapfel. HPLC based method for the measurement of the reduction of aflatoxin B1 by bacterial cultures isolated from different African foods. *Mycotoxin Res* 2000;16 Suppl 2:141.
- 19-Febrianto J, AN Kosasiha, J Sunarsob, Y Jua, N Indraswati, and S Ismadji. Equilibrium and kinetic studies in adsorption of heavy metals using biosorbent: A summary of recent studies. *J Hazard Mater* 2009;162:616–645.



The Adsorption Study of Aflatoxin B1 by Nanocellulose Conjugated with Aptamer in acidic, alkali, and Neutral Conditions

Mirdehghan T (MSc)¹, Hekmatimoghaddam SH (MD)², Jebali A (PhD)³

1. MSc Student in Biochemistry, Payamnoor University, Taft, Yazd, Iran

2. Associate Professor, Department of Laboratory Sciences, Shahid Sadoughi University of Medical Sciences, Yazd, Iran

3. Corresponding Author: Assistant Professor, Department of Advanced Medical Sciences and Technologies, Shahid Sadoughi University of Medical Sciences, Yazd, Iran

Abstract

Introduction: Aflatoxin leads to liver cancer, its removal in the foodstuff is very important. The aim of this study is to investigate the adsorption of aflatoxin B1 by nanocellulose conjugated with aptamer in acidic, alkali, and neutral conditions.

Methods: First, nanocellulose was synthesized by acid hydrolysis and then conjugated with aptamer by cross-linker. Then, serial concentrations of conjugated nanocellulose (0.6, 1.25, 2.5, 5, and 10 mg/mL) were separately mixed with aflatoxin solution (1000 μ g/mL), and incubated at 37 °C for 0.5 h at pH of 1, 7, and 13. Then, the percentage of aflatoxin adsorption was measured at 340 nm.

Results: The decrease of pH led to increase of adsorption up to 40%. Statistically, there was significant difference between the quantity of adsorption at acidic condition and the quantity of adsorption at alkali and neutral conditions ($P<0.05$).

Conclusion: Aflatoxin could be adsorbed by conjugated nanocellulose, and this power of adsorption is increased at acidic condition.

Keywords: Adsorption, Aflatoxin B1, Nanocellulose, Aptamer